

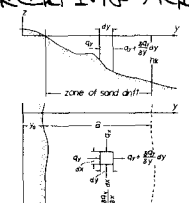
京大院正員 土屋義人、岐大工正員 安田孝志、A.I.T. 博士 中谷剛

1. 緒言 Pollard-Consideréの仮定に基づく海浜変形の1次元モデルでは、海浜地形の変化が汀線の変化のみによることと表されるが、それが拡散型の偏微分方程式の解として与えられるので、その解が解釈として導かれる限り、このモデルは海浜変形の基本解としての価値を持つものと考えられる。ここでは、実堤や河口周辺の海浜変形の1次元モデルを解析解として提案し、それによる海浜変形の特性について考察する。

2. 海浜変形の基礎方程式 海浜変形を解析解によることで1次元的に取扱う立場から、次の仮定を行う。*i)* 海浜の断面形状および移動限界水深は不变。*ii)* 沖下向漂砂および浜漂砂は無視する。これらの仮定を図-1のように定めた座標系に対して与えられる一般的な海浜変形の基礎式に適用すれば、次式が導かれる。

$$\frac{\partial h}{\partial t} = -f/(1-f) \frac{\partial Q_x}{\partial x} (Q_x / \partial x)^{1/2} + 1/(1-f) \frac{\partial h}{\partial t} \frac{\partial Q_x}{\partial x} \quad (1)$$

ここに、 y_0 : 基準線(x軸)から汀線までの距離、 f : 底質の充満率、 Q_x : 移動限界水深、 Q_x : 沿岸漂砂量、および η : 江口からの単位幅当たりの流出土砂量である。このときの初期および境界条件は、 $t=0$: $\eta_0 = 0$ および $x \rightarrow \pm \infty$: $\eta = 0$ である。



3. 海浜変形の予測モデル *i)* 実堤長を考慮した実堤周辺の海浜変形モデル 実堤の先 図-1を概要的説明端よりも岸側の漂砂は実堤によって完全に捕捉されるが、沖側の漂砂の影響を受けることなく通過するものとすれば、実堤によつて捕捉される漂砂の割合を示す捕捉率 $100f$ は、著者らが提案した沿岸漂砂量則¹⁾を用いて次式のように初期実堤長 l の実数として定義される。

i) $l-y_0 < y_0$: 実堤長($l-y_0$)が碎波帶の幅 y_0 よりも短い場合

$$f = \int_{y_0}^{y_0} \frac{dy}{y_0} + \int_{y_0}^{y_0} \frac{dy}{y_0}$$

ii) $l-y_0 > y_0$: 実堤長($l-y_0$)が碎波帶の幅 y_0 よりも長い場合

$$f = \left(\int_{y_0}^{y_0} \frac{dy}{y_0} + \int_{y_0}^{y_0} \frac{dy}{y_0} + \int_{y_0}^{y_0} \frac{dy}{y_0} + \int_{y_0}^{y_0} \frac{dy}{y_0} \right)$$

ここに、 y_0 および y_0 はそれぞれ碎波帶内および碎波帶外での漂砂量である。いす、 $x=0$ の位置に捕捉率 $100f$ の実堤が築造されているものとすれば、このときの $x=0$ での沿岸漂砂量 Q_{x,y_0} と実堤の影響を受けない十分遠方での沿岸漂砂量 Q_{x,y_0} との間に $Q_{x,y_0} = (1-f)Q_{x,y_0}$ の関係が成立する。ここで、沿岸漂砂量則 $Q_x = T \sin 2\theta_B$ を用いれば、 $x=0$ および y_0 での碎波点の入射角 θ_B と y_0 の関係が $2\theta_B = (1/2) \sin^{-1}((1-f) \sin 2\theta_B)$ で表される。よし、 $2\theta_B$ および Q_x の角の周知の関係から、実堤長の影響は、次式の境界条件で代表されることになる。

$$x=0; \frac{\partial h}{\partial x} = Q_x - (1/2) \sin^{-1}((1-f) \sin 2\theta_B) \quad (4)$$

これらの条件下に式(1)を解けば、このときのモデルが得られる。

$$y_0^* = \int_{y_0}^{y_0} \frac{1}{1/2 \sqrt{1-f}} \left[(2\theta_B - \sin^{-1}(f)) \sin 2\theta_B \right] \exp(-x^*/4(1-f)) dx \quad (5)$$

ここに、 $x^* = x/y_0$ 、 $y_0^* = y_0/y_0$ 、および $f^* = f/(1-f)$ である。

である。図-2は計算結果の一例であり、破線は比較のために示した $f=1$ の場合を示す。

2) 流出土砂量が時間的に変化する場合の河口デルタの変形モデル

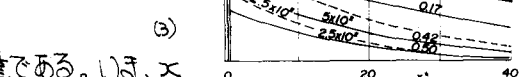


図-2 実堤上半側の汀線変化

図-2は計算結果の一例であり、破線は比較のために示した $f=1$ の場合を示す。2) 流出土砂量が時間的に変化する場合の河口デルタの変形モデル

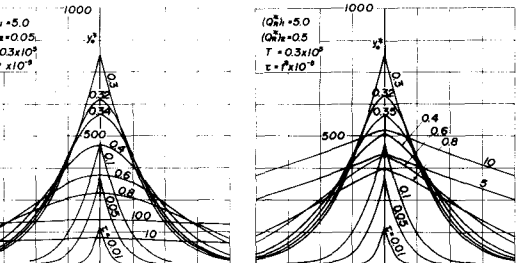


図-3 流出土砂量の急変に伴う河口デルタの変形

$$S_R(x, t) = (Q_R/2) [\operatorname{erfc}(t-T) + (\alpha R_2/Q_R) \operatorname{erfc}(t-T+1)] \delta(x), \quad \delta(x): \text{Dirac の } \delta \text{ 関数} \quad (6)$$

のよう δ に一定時間 T 後に流出土砂量が Q_R から 0 に急変する場合を扱う。式(6)を式(1)に適用し、同様に解けば、

$$y_0^* = Q_R^* / 4(1-\alpha) \sqrt{T} \left(1 / \sqrt{1-f} \right) \exp(-x^*/4(1-f)) [\operatorname{erfc}(t-T) + (\alpha R_2/Q_R) \operatorname{erfc}(t-T+1)] dt, \quad Q_R^* = Q_R(1-\alpha)/(\alpha R_2/102) \quad (7)$$

に α 、このときのモデルが与えられる。図-3は計算結果の一例であり、流出土砂量の変化に応じてデルタ形状

が変化していく過程が明らかとなる。また、流出土砂量が

$$q_R = Q_R(1 + \epsilon \cos \omega t) \delta(x)$$

のように周期的に変化する場合の海浜変形は次式で表される。

$$\eta^* = [Q_R^*(1-H)] \left[(\pi B_R \exp(-x^2/4H)) - \left(\frac{1}{2} \operatorname{erfc}(\frac{x}{\sqrt{4H}}) + \frac{1}{2} \int_{-\infty}^{x/\sqrt{4H}} \exp(-t^2/4(H-t)) dt \right) \right] \quad (9)$$

③ 流出土砂の分布を考慮した場合の河口デルタの変形モデル まず、幅限の河口からの流出工砂が次式のように一様分布する場合を考える。

$$\delta_R(x) = Q_R/B; |x| \leq B_R/2, \delta_R(x) = 0; |x| > B_R/2 \quad (10)$$

このときの河口デルタの変形モードは、式(10)に対する式(4)の解として次式となる。

$$\eta^* = [Q_R^*(2C_1 B_R)] \left[\operatorname{erf}(x/B_R/2)/\sqrt{4(H-t)} - \operatorname{erf}((x+B_R/2)/\sqrt{4(H-t)}) \right] dt \quad (11)$$

つづいて、幅 B_R の河口からの流出工砂量が次式のように指数分布する場合を参考する。

$$\delta_R(x) = (8Q_R/B_R\sqrt{H}) \exp(-(8|x|/B_R)^2) \quad (12)$$

このときの河口デルタの変形モードは、次式のようになる。

$$\eta^* = [Q_R^*(1/H)] \sqrt{H} \left[-B_R^* \exp\left(-\left(8|x|/B_R^*\right)^2\right) + \frac{1}{2} \int_{-B_R^*/\sqrt{4H}}^{B_R^*/\sqrt{4H}} \exp\left(-\left(8|x|/1.256B_R^*\right)^2\right) \right. \\ \left. - 8|x|/\sqrt{H} \left[\operatorname{erf}\left(8|x|/B_R^*\right) - \operatorname{erf}\left(8|x|/\sqrt{1.256B_R^*}\right) \right] \right] \quad (13)$$

さらに、流出工砂分布の非対称性の影響を検討するため、式(12)が次式のように単純化された場合を取扱う。

$$\delta_R(x) = 0; |x| > B_R/2, \delta_R(x) = (Q_R/B_R)(1+2x/B_R); |x| \leq B_R/2 \quad (14)$$

このときの海浜変形は次式によると考えられる。

$$\eta^* = [Q_R^*(2x+B_R^*)/2C_1 B_R^*] \left[\operatorname{erf}\left(\frac{|x|+B_R^*/2}{\sqrt{4(H-t)}}\right) - \operatorname{erf}\left(\frac{|x|+B_R^*/2}{\sqrt{4(H-t)}}\right) dt - \left[\frac{1}{3} (1-H)^{3/2} \right. \right. \\ \left. \cdot \left(2 \sqrt{H} \left[2x^2 \exp\left(-\left(x+B_R^*/2\right)^2/4H\right) - \left(x+B_R^*/2\right)^2 \exp\left(-\left(x+B_R^*/2\right)^2/4H\right) + (x+B_R^*)^2 \operatorname{erf}\left((x+B_R^*)/2\sqrt{H}\right) \right] \right. \\ \left. + \left[\frac{4}{3} (1-H)^{3/2} \right] \left(2 \sqrt{H} \left[2x^2 \exp\left(-\left(x+B_R^*/2\right)^2/4H\right) - \left(x+B_R^*/2\right)^2 \exp\left(-\left(x+B_R^*/2\right)^2/4H\right) + (x+B_R^*)^2 \operatorname{erf}\left((x+B_R^*)/2\sqrt{H}\right) \right) \right] \right] \quad (15)$$

図-4と図-5は、式(11)、(13)および(15)による計算結果を示したものであり、流出工砂分布の影響が明らかとなる。

④ 沿岸漂砂の置換 堆積構造の非対称性の影響を考慮した場合の河口デルタの変形モデル Pel-hard-Consideré の仮定に基づく沿岸漂砂量 Q_R の入射角 α に関する周知の展開式 α のオーダーまで行い、これまで前述の一般的海浜変形の基礎式に適用可能では、解くべき下式(16)に代わっておくとする。

$$d\eta/dt = \left\{ 1/(1-H) \right\} \left\{ (Q_R^*/B_R) \left(\frac{\partial \eta}{\partial x} / \frac{\partial \eta}{\partial t} \right) \left(\frac{\partial \eta}{\partial x} / \frac{\partial \eta}{\partial t} \right) \right\} \frac{\partial^2 \eta}{\partial x^2} + \left\{ 1/(1-H) \right\} \delta_R(x) \quad (16)$$

この式に含まれる非線形項 $(\partial \eta / \partial x)(\partial \eta / \partial t)$ の符号は、河口デルタの場合にはこの正あるいは負領域において異なるため、式(16)を用いて非対称性の置換・堆積構造が非対称となり、流出工砂分布が対称である場合デルタの形状は非対称になるものと考えられる。式(16)を無視してとしてせん断法によつて解けば、このときの海浜変形は

$$\eta^* = [Q_R^*(1/H)] \sqrt{H} \left[\exp\left(-x^2/4H\right) - \left(\frac{1}{2} \operatorname{erfc}\left(\frac{|x|}{\sqrt{4H}}\right) \right) + \left(Q_R^* \tan 2\alpha / 2\pi(1-H) \right) \right]$$

$$+ \left(\frac{1}{2} \operatorname{erfc}\left(\frac{|x|}{\sqrt{4H}}\right) \right) \left[\left(\exp\left(-\left(x+B_R^*/2\right)^2/4(H-t)\right) \operatorname{erfc}\left(\frac{|x|+B_R^*/2}{\sqrt{4(H-t)}}\right) \right) \exp\left(-\left(x+B_R^*/2\right)^2/4(H-t)\right) \operatorname{erf}\left(\frac{|x|+B_R^*/2}{\sqrt{4(H-t)}}\right) \right] \quad (17)$$

によつて考えられる。図-6は、式(17)による河口デルタの変形を示したものである。これから、河口デルタの形状は、来襲波の入射角 α のまゝまま河口からの流出工砂量にも依存し、非対称性の程度はこれらに応じて大きく変化することがわかる。また、沿岸漂砂の上半側海岸が堆積のために緩やかな地形となるのにに対し、下半側海岸が侵食のために急峻となる点などは、興味ある点であろう。

4. 総 論 以上、解析解の形で表される実際および河口周辺の海浜変形の一次元モデルを提案し、これらによる海浜変形の数例を示して実堤長や河口からの流出工砂の特性が海浜形状に及ぼす影響について考察した。これらによつて、典型的な場合の海浜変形の挙動が極めて容易によるものと思われる。紙面の都合でさうに詳細な計算結果を上げるためにあたる考慮を省略したが、これらについては講義に述べた。

参考文献 ① 土屋義人・田中孝志：海浜変形の簡単モデル、第25回海岸工学清涼会論文集、1998, pp.189-193.

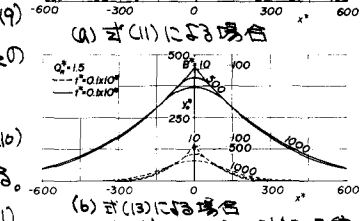


図-4 河口デルタにおける流出工砂分布の影響

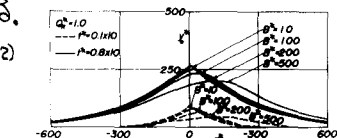


図-5 流出工砂分布の非対称性の影響

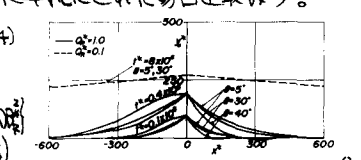


図-6 河口デルタの形状に対する傾角の影響